

کروی نمودن گرافیت‌ها از طریق مذاب تغذیه در طی بارزی قطعات چدنی*

سید محمد حسین میرbagheri^(۱)

محسن هرسیج^(۲)

چکیده هدف پژوهش حاضر ارائه فرایندی نوربرای تولید قطعات چدنی است. بر پایه این پژوهش، یک قطعه چدنی را می‌توان به صورت دو لایه مجرأ، شامل یک لایه بیرونی (پوسته قطعه) و یک لایه داخلی (مغز قطعه)، براساس خواسته طراح، ریخته‌گری نمود. برای مثال در حین تولید (ریخته‌گری و انجاماد) یک قطعه چدنی می‌توان با استفاده از روش ارائه شده در این پژوهش ساختار قسمت بیرونی (پوسته) قطعه را از جنس چلن خاکستری با گرافیت ورقه‌ای و ساختار قسمت داخلی آن را (از زیر پوسته مذکور تا مرکزان) کاملاً از جنس چلن داکتیل با گرافیت کروی طراحی نمود. از این رو سعی شده است با طراحی یک قطعه پیچیده و به کار گیری فرایند یاد شده، فناوری این روش استخراج و تدوین گردد. در این فرایند سعی شده است که محفظه مواد کروی کننده و محفظه تغذیه در یکجا ادغام شوند؛ به عبارت دیگر عملیات کروی نمودن در تغذیه انجام شود. نتایج نشان داد که برای قطعات چدنی با تغذیه گلزاری از نوع تقلیل فشار، متاب تلقیح شده از تغذیه به داخل قطعه برگشت نمود و پوسته اولیه به صورت چلن خاکستری منجمل شد؛ اما مذاب باقی مانده در مغز قطعه کاملاً به چلن داکتیل تبدیل گردید.

واژه‌های کلیدی چلن، تلقیح، گرافیت، انجاماد، تغذیه، ورقه‌ای، کروی، ریخته‌گری، فناوری.

Spherodizing of molten Cast Iron from riser cavity during mould filling

S.M.H. Mirbagheri

M. Harsij

Abstract In this investigation a new procedure has been developed for producing of Cast Iron parts. The Cast Iron parts were produced as two layers during of solidification. They had two zones, outer zone which was Grey Iron and inner zone which was Ductile Iron. At first, a complex cast part with a blind riser was designed. Second, some inoculants were placed into the blind riser on a wire screen for inoculation of melt. Finally, the micro structure from the outer skin toward the inner zone of the part was investigated by metallographic testing. Results showed that graphite's in outer layers were from type of flake graphite, and the central zones were spherical graphite. In fact, at the first step of solidification, outer skin is solidified as Grey Iron. Then due to contact melt and inoculants material concurrent with cavity shrinkage as well as back pressure into the riser, a flow of inoculated melt move from the riser toward mold cavity. This phenomenon lead to formation of spherical graphite's at the central zones. This procedure is very economic for casting industries, because in this technique the blind riser has the role of a reaction cavity, instead of melt compensation.

Key Words Cast Iron, Inoculation, graphite, Solidification, Riser, Flake, Spherical, Casting, Technique.

*نسخه اولیه مقاله در تاریخ 87/7/13 و نسخه نهایی آن در تاریخ 86/3/2 به دفتر نشریه رسیده است.

(1) استادیار، دانشکده مهندسی، دانشگاه صنعتی امیرکبیر

(2) کارشناس، بخش مهندسی مواد، دانشکده مهندسی، دانشگاه شهید چمران اهواز

استاندارد و ایجاد زمینه با ساختار مورد نیاز [6,5]. از طرف دیگر پایداری جوانه‌ها به زمان فرآیند بستگی دارد و با گذشت زمان جوانه‌ها کم از بین می‌روند. از این رو، جوانه‌زنی در داخل قالب برای فائق آمدن بر میراثی هسته‌ها معرفی شده است. اما روش‌های تزریق جوانه زا را به چند گروه نسبتاً بزرگ می‌توان محدود نمود که عبارتند از: فرآیند دمش گاز خشی، پاتیل‌های لرزان، هم زن برقی، توپی‌های متخلخل کف پاتیلی و توپی متخلخل ممتد [3,7]. اما روش‌های کروی نمودن چدن‌ها به عنوان عملیات کیفی مذاب دارای راندمان و کارآیی‌های مختلفی هستند. از جمله روش‌های متداول با کارآیی مناسب می‌توان به موارد زیر اشاره نمود [2,3,8]:

- 1- روش انتقال پاتیل باز - روش ساندویچی
- 2- روش پاتیل باربریز درپوش‌دار
- 3- روش فربوری
- 4- فرآیند در قالب
- 5- فرآیند فشاری
- 6- فرآیند مختلط
- 7- پاتیل فشاری و محفظه فشاری
- 8- فرآیند توپی متخلخل
- 9- راکتور کج شده
- 10- روش سقوط مستقیم.

از جمله این روش‌ها می‌توان به روش فرآیند در داخل قالب اشاره نمود که فرآیندی برای کروی کردن مذاب چدن در داخل خود قالب می‌باشد. در این روش یک محفظه واکنش ویژه بین سیستم راهگاهی و اصلی تعییه می‌شود. سپس موادکروی کننده در داخل محفظه گذاشته شده و واکنش به هنگام عبور مذاب از بین موادکروی کننده رخ می‌دهد. اما روش‌های تغذیه گذاری چدن‌ها را می‌توان به روش‌های معروف زیر محدود نمود [3,9]:

- 1- تغذیه گذاری معمولی (Conventional Risering)
- 2- تغذیه گذاری فشاری (Pressure Risering)
- 3- تغذیه گذاری فشاری به کمک سیستم راهگاهی (System Pressure Risering with-the Gating)

مقدمه

چدن نشکن با ساختاری شامل گرافیت‌های کروی شکل، نخستین بار در سال 1948 در کنگره جامعه ریخته‌گران امریکا معرفی شد. اگر چه در تاریخچه این نوع چدن، زمان اختراع به 2000 سال قبل و محل تولید به کشور چین اشاره شده است، اما توسعه سریع آن از دهه 1950 آغاز شد و مصرف آن در دهه‌های بعد به سرعت رو به افزایش نهاد [1,4]. با توجه به اینکه کربن معادل این چدن‌ها بالا می‌باشد، بایستی کوگرد (S) تا حد معینی حتماً کاهش داده شود. برای تولید این نوع چدن، عموماً عملیات کروی نمودن گرافیت باید توسط عناصری مانند منیزیم (Mg) و سریم (Ce) انجام گیرد ولی منیزیم از نظر اقتصادی مناسب‌تر است. برای اصلاح و بازیابی بهتر منیزیم، برخی عناصر دیگر با آن ترکیب یا آلیاژ می‌شوند و این ترکیب یا آلیاژ باعث کاهش مصرف منیزیم و تعدیل آن خواهد شد. منیزیم را می‌توان به شکل‌های مختلفی اضافه کرد که شامل: فلز منیزیم (Mg)، آلیاژهای Mg ، آلیاژهای Ni-Si-Mg، Ni-Mg و یا منیزیم کک (Mg coke) است. از روش‌های اضافه کردن منیزیم به مذاب می‌توان به روش انتقال پاتیل، روش پاتیل درپوش‌دار، روش به هم زدن با توپی متخلخل، و روش در(داخل) قالب اشاره نمود. در این روش‌ها مقدار منیزیم مصرفی در مدت زمان کوتاهی قبل از ریخته‌گری اضافه می‌شود به طوری که منیزیم باقیمانده در قطعه ریختگی به مقدار 0/05-0/03 درصد وزنی، باقی بماند. فلزمذاب تواماً یا بعد از افروden منیزیم تلقیحی بایستی مورد جوانه زنی قرار گیرد. از لحاظ خواص مکانیکی کترل ترکیب در چدن‌های با گرافیت کروی باید نیازهای اساسی زیر را به طور همزمان برآورده کند: عاری بودن از کاربیدها (فسفیدی و بین سلولی)، شکل و توزیع گرافیت به صورت درست و یکنواخت، فاکتور کرویت طبق نمونه

دهد؟ یا اینکه پس از عملیات ریخته گری، ابتدا قطعه و سپس تغذیه به صورت جهت دار منجمد می شوند و این عملیات بدون نتیجه باقی میماند. در مواجهه با این مشکل می توان گفت هر سیستم تغذیه گذاری قادر به انجام این عملیات نیست. تنها تغذیه گذاری فشاری توانایی دارد این کار را انجام دهد، به این صورت که با شکل گیری یک پوسته جامد از قطعه، مذاب داخل تغذیه از طریق گردن تغذیه به همراه مواد کروی کننده به مرکز قطعه راه پیدا می کند؛ اما به دو شرط: ۱- ریز بودن مواد کروی کننده، ۲- کوچک نبودن قطعات ریختگی (یعنی لزوم نیاز به تغذیه). در پژوهش حاضر پس از بررسی های زیاد روی طرح های مختلف قطعات ریختگی تصمیم گرفته شد قطعه ای مطابق شکل (۱) انتخاب شود و سپس طراحی سیستم راهگاهی، تغذیه و محفظه واکنش بر اساس معیارهای معتبر طراحی و تکنولوژی قطعات ریختگی انجام گیرد. در ادامه جزئیات محاسبات یاد شده به همراه مراجع مورد استفاده در طراحی آورده شده است.

مراحل طراحی

مطابق شکل (۲) ابتدا قطعه ای با وزن بیشتر از ۱۰ کیلوگرم (چرا که قطعات با وزن کمتر از این مقدار قابلیت تغذیه گذاری ندارند) طراحی شد و سپس محاسبات مربوط به سیستم راهگاهی قطعه مذکور با استفاده از مراجع معتبر [۱,۳] انجام گرفت. ابتدا محاسبات مربوط به مقدار انقباض حالت جامد و اضافه تراشکاری و شبیه مدل برای قطعه مذکور مطابق اندازه های درج شده در نقشه شکل (۲) تعیین شد. سپس مدل چوبی قطعه یاد شده به صورت خام (بدون تغذیه و سیستم راهگاهی) تهیه شد. تصاویر شکل های (۳-الف تا ۳-ج)، مدل چوبی قطعه طراحی شده را پس از ساخت با در نظر گرفتن کلیه نکات تکنولوژیکی آن نشان می دهنند.

۴- عدم استفاده از تغذیه (Riserless design)

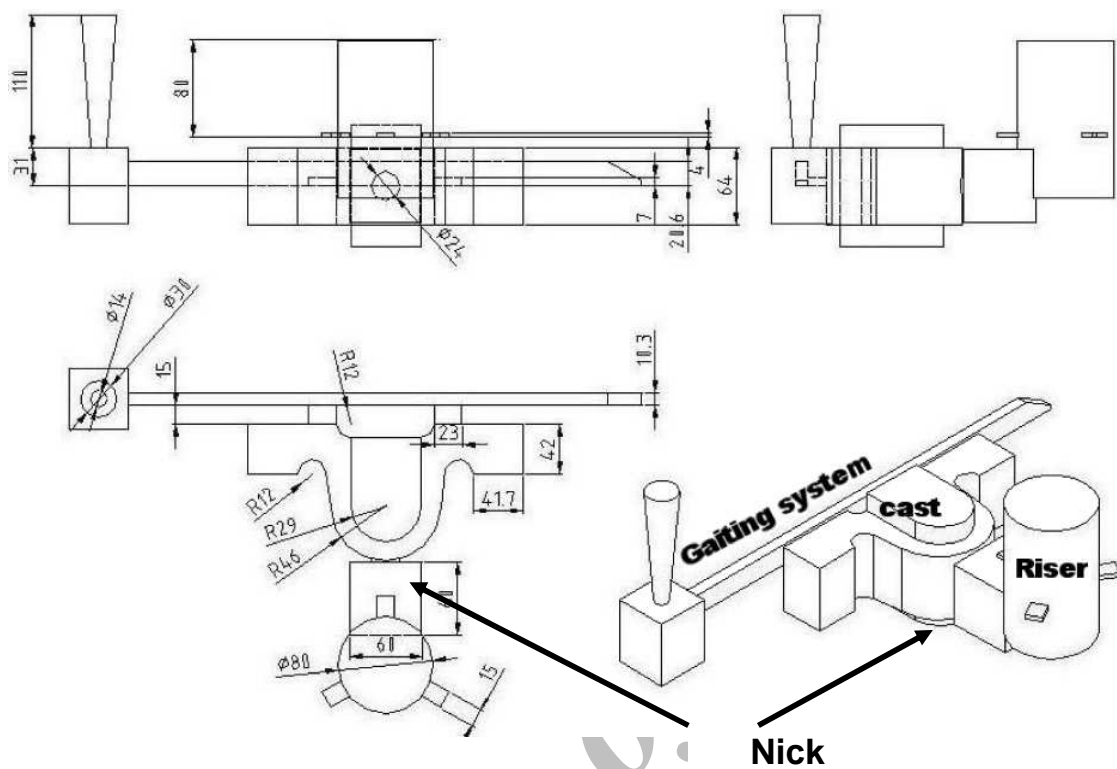
۵- تغذیه گذاری تقلیل فشار (Pressure Relief or Pressure control-Risering)

از مطالعه منابع می توان چنین استنباط کرد که تغذیه گذاری فشاری در چدن ریزی یکی از روش های عملی و اقتصادی است؛ البته روز به روز روش تغذیه گذاری تقلیل فشار، بخصوص در ریخته گری های ماشینی، موارد مصرف بیشتری می یابد. از این رو به نظر می رسد می توان طرح جدیدی برای تغذیه گذاری و عملیات کروی کردن، توأم با هم، ارائه داد. این مقاله سعی دارد جزئیات این طرح جدید را با جزئیات و مستنداتی که طی سالیان متتمادی به دست آمده، به پژوهشگران صنایع ریخته گری ارائه نماید.

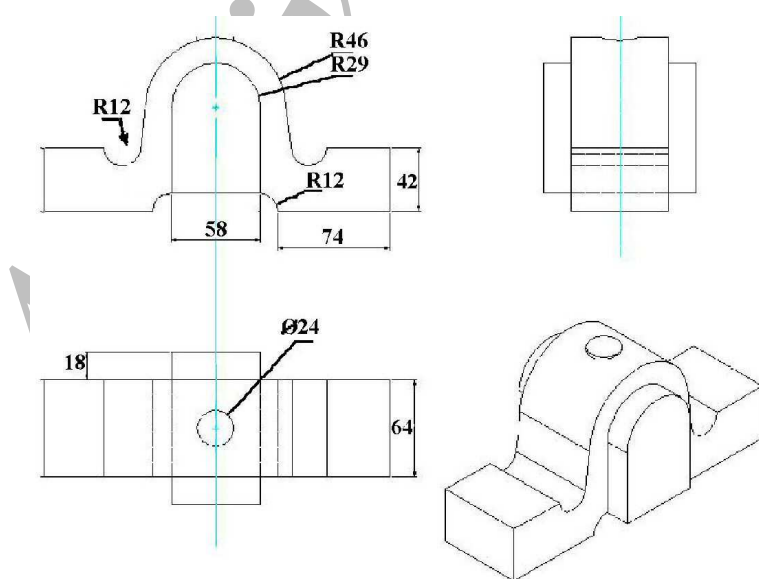
روش تحقیق

در این تحقیق ایده اولیه بر این اساس بود که آیا در مراحل مختلف تولید قطعات چدن نشکن می توان مرحله کروی نمودن را با مرحله تغذیه گذاری در هم ادغام نمود. در این صورت علاوه بر افزایش کارآیی، کروی نمودن گرافیت ها به عنوان حذف زمان میرایی، هزینه تمام شده چنین قطعاتی بسیار کاهش خواهد یافت و گرایش به سمت این روش توجیه اقتصادی خواهد داشت. حال با توضیحات گفته شده این سؤال مطرح می شود که ادغام محفظه واکنش مواد کروی کننده و تغذیه، یا به عبارتی دیگر استفاده از مواد کروی کننده در داخل تغذیه تا چه حد امکان پذیر بوده و در صورت انجام شدن چه مقدار باعث بالا رفتن راندمان کاری خواهد شد؟ هرچند هر مسئله ای در نگاه اول قابل انجام شدن می باشد، اما با مشکلاتی نیز مواجه خواهد بود که محدودیت هایی را برای آن به وجود خواهد آورد. برای مثال آیا تغذیه توانایی دارد که مذاب کروی شده را به همراه مواد کروی کننده به داخل قطعه انتقال

کروی نمودن گرافیت‌ها از طریق مذاب ...



شکل ۱ نمایی از قطعه انتخاب شده در پژوهش حاضر و طراحی‌های سیستم راهگاهی و تغذیه گذاری آن.



شکل ۲ نقشه قطعه انتخابی و ابعاد آن



شکل ۳-الف نمای از بالای مدل



شکل ۳-ج نمای روپروری مدل



شکل ۳-ب نمای جانبی مدل

حداقل فاصله بین اولین راهگاه فرعی و راهگاه
باربریز [3]: 150mm
حداقل فاصله بین آخرین راهگاه فرعی و انتهای راهگاه
اصلی [3]: 150mm
نسبت‌های بین A_R و A_G و همین طور نسبت‌های بین A_S و A_G به صورت زیر توصیه می‌شود [3-2]:

$$\frac{A_R}{A_G} + \frac{1}{1.5} \quad (4)$$

$$\frac{A_S}{A_G} = \frac{4}{3} \quad (5)$$

با استفاده از نمودار شکل (5) سطح مقطع تنگه یا
همان راهگاه فرعی تعیین می‌شود [3]:

$$A_{Chok} = A_G = 3.2 \quad (6)$$

الف) محاسبات مربوط به سیستم راهگاهی فشاری.
مقدار حجم مدل بر اساس ابعاد مندرج در نقشه قطعه
:

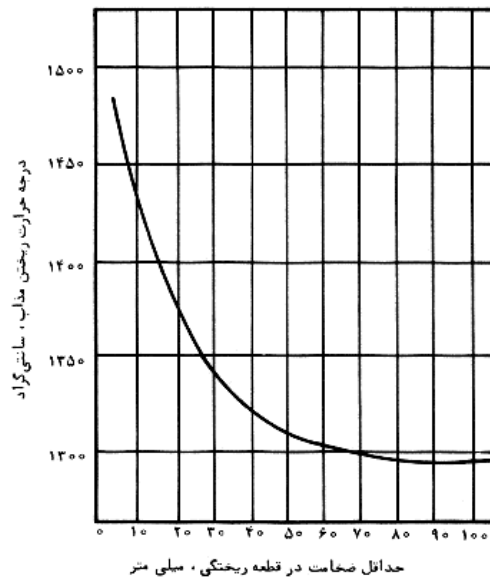
(شکل 2)

$$V = 14311041 \text{ mm}^3 \quad (1)$$

$$\begin{aligned} &\text{جرم قطعه چدنی با احتساب دانسیته : } 8 \text{ gr/cm}^3 \\ &m = \rho V = 8 \times 14311041 = 11448.83 \text{ gr} \end{aligned} \quad (2)$$

$$\begin{aligned} &\text{جرم تقریبی قطعه و سیستم راهگاهی با همدیگر:} \\ &w = 1.1 \times 14311041 = 12594.0 \text{ gr} \end{aligned} \quad (3)$$

دمای ریخته گری بر اساس حداقل ضخامت
ریختگی 24mm از نمودار شکل (4) برابر 1350°C
به دست می‌آید [3]:



شکل 4 تعیین دمای باربری براساس حداقل ضخامت قطعه ریختگی [4]

در کارگاه داریم:

$$d' = 2.32 \sqrt{\frac{2}{15}} \Rightarrow d' = 1.4 \text{ cm} \quad (11)$$

با استفاده از روابط (4) و (6) داریم:

$$\frac{A_R}{3.2} = \frac{1}{1.5} \Rightarrow A_R = 2.13 \text{ cm}^2 \quad (7)$$

مرحله بعدی محاسبه طول و عرض راهباره (Gate) می‌باشد. با استفاده از فرمول زیر ضخامت راهباره را به دست می‌آوریم [2,3]:

$$T = 1.9 \times 1.6^{\log \frac{w}{5}} = 2.29 \text{ cm} \quad (12)$$

با استفاده از دمای ریختن و نمودارهای آورده شده در منبع [4] عرض راهباره برابر با 0.8 cm به دست می‌آید. حال با داشتن عرض و ضخامت یک راهباره، سطح مقطع هر راهباره به دست می‌آید:

$$A_G = 2.29 \times 0.8 \text{ cm}^2 \quad (13)$$

با توجه به فشاری بودن سیستم، سطح مقطع $A_{G_{Chok}}$ می‌باشد. در این قسمت سطح مقطع کل بر سطح محاسبه شده بر سطح مقطع هر راهباره (A'_G) تقسیم شده و تعداد راهگاه‌های فرعی به دست می‌آید:

با انتخاب مقطع مربع مستطیل با نسبت 2:1 داشتن مقدار مساحت مقطع ابعاد هر یک اضلاع محاسبه می‌شود:

$$A_R = 2a^2 = 2.13 \text{ cm}^2 \Rightarrow a = 1.3 \text{ cm} \quad (8)$$

با استفاده از روابط (5) و (6) مساحت و درنتیجه قطر ابتدا و انتهای راهگاه باربریز نیز محاسبه می‌شود:

$$\frac{A_S}{3.2} = \frac{4}{3} \Rightarrow A_S = 4.26 \text{ cm}^2 \quad (9)$$

چون راهگاه باربریز دارای مقطع دایره‌ای است لذا:

$$4.26 = \frac{\pi}{4} d^2 \Rightarrow d = 2.32 \text{ cm} \quad (10)$$

با در نظر گرفتن قانون پیوستگی و انتخاب ارتفاع راهگاه باربریز 15 سانتی متر بر اساس درجه‌های موجود

حداقل فاصله دو راهگاه فرعی را نیز می‌توان با استفاده از فرمول زیر محاسبه کرد [11]:

$$T = 3.2 \times 1.6^{\log \frac{w}{5}} = 3.86 \text{ cm} \quad (17)$$

با انتخاب شکل استوانه برای پاشنه راهگاه باربریز، عمق حوضچه پای راهگاه با توجه به شکل شماتیک (قابل محاسبه می‌باشد):

$$R = 2a = 2 \times 1.03 = 2.06 \text{ cm} \quad (18)$$

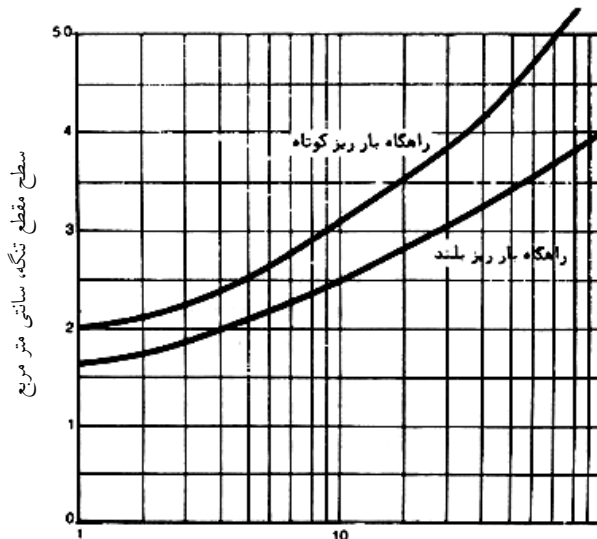
$$1.5R = 1.5 \times 2.06 = 3.09 \text{ cm} \quad (19)$$

$$\frac{A_G}{A_G} = \frac{3.2}{2.06} = 1.74 \cong 2 \quad (14) \text{ تعداد راهگاه فرعی:}$$

با داشتن تعداد دقیق راهگاه‌های فرعی و داشتن سطح مقطع کل مجدداً سطح مقطع هر راهباره محاسبه می‌شود:

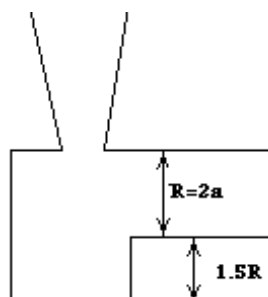
$$\frac{3.2}{2} \times 1.6 \text{ cm}^2 \quad (15)$$

با داشتن مقدار دقیق مساحت هر راهباره و ضخامت هر کدام از آنها، عرض راهباره به دست می‌آید: $2.29x b = 1.6$, $b = 0.7 \text{ cm}$ (16)



وزن قطعه ریختگی برای هر تنگه، کیلو گرم

شکل 5 راهنمای تقریبی انتخاب سطح مقطع تنگه در ارتباط با وزن قطعه ریختگی (برای قطعات سبک)

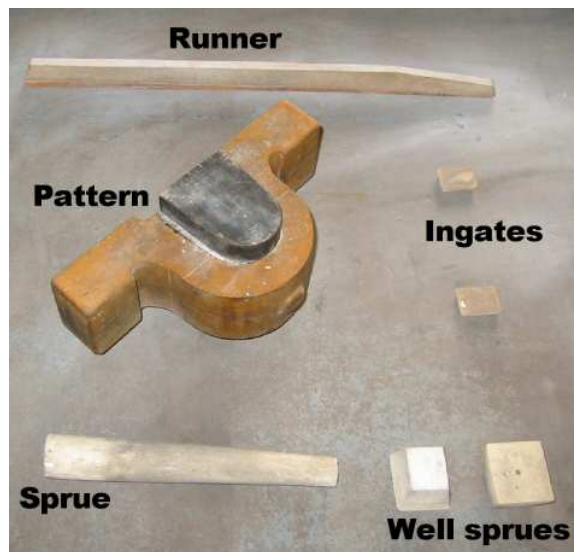


شکل 6 نمایی از حوضچه پای راهگاه استوانه‌ای طراحی شده در پژوهش حاضر

کروی نمودن گرافیت‌ها از طریق مذاب ...

خود قطعه، بر اساس نتایج محاسبات طراحی مندرج در جدول (۱)، نشان می‌دهد.

شکل (۷) تصویر مدل چوبی هریک از اجزاء سیستم راهگاهی ساخته شده در کار حاضر را در کنار مدل راهگاهی ساخته شده در کار حاضر را در کنار مدل



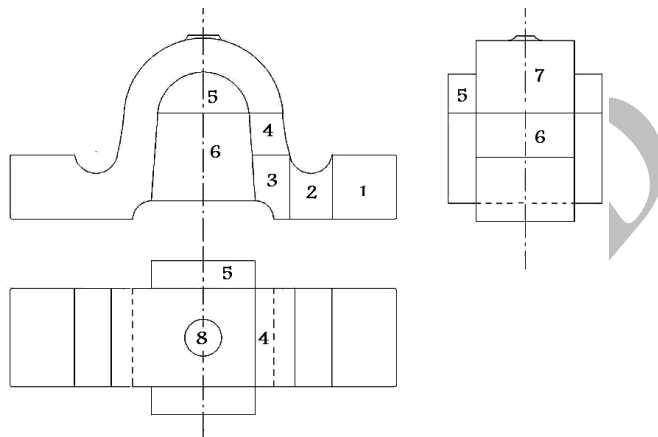
شکل ۷ مدل اجزاء سیستم راهگاهی به همراه مدل قطعه

جدول ۱ ابعاد سیستم راهگاهی طراحی شده برای قطعه شکل (۵).

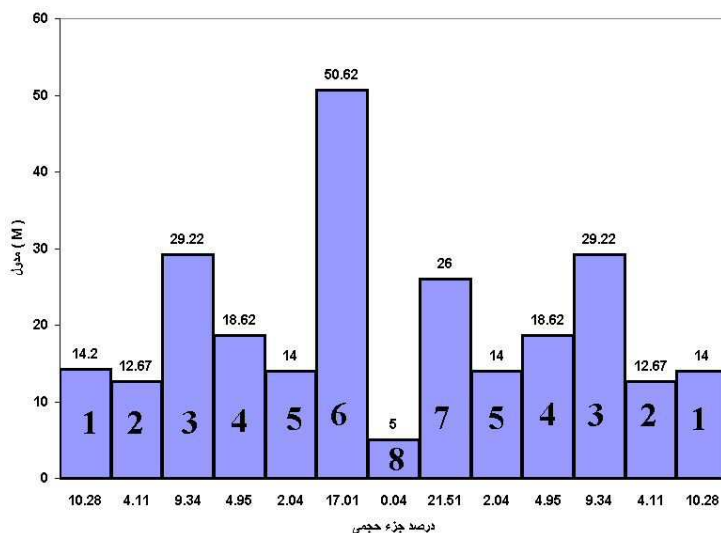
واحد (mm)	اجزاء سیستم راهگاهی
150	فاصله بین اولین راهگاه فرعی و راهگاه باربریز
150	فاصله بین آخرین راهگاه فرعی و انتهای راهگاه اصلی
$A_R : A_G = 1:1/5$	نسبت‌های بین A_R و A_G
$A_S : A_G = 4:3$	نسبت‌های بین A_S و A_G
$A_{Chok} = A_G = 3/2$	سطح مقطع تنگه
21/3	سطح مقطع راهگاه اصلی : A_R
$A_R = 2a^2 = 2/13$	ابعاد مقطع راهگاه اصلی
23	قطر ابتدای راهگاه باربریز
14	قطر انتهای راهگاه باربریز ($H_s = 150$)
23	طول راهباره
8	عرض راهباره
2	تعداد راهگاه‌های فرعی
16	سطح مقطع هر راهباره

با رسم مدول هر قسمت بر حسب درصد حجمی هر جزء مطابق شکل (9) می‌توان توالی قسمت‌هایی که دارای مدول‌های بالا یا کم هستند، را به منظور تعیین مکان اتصال تغذیه به قطعه شناسایی نمود.

ب- محاسبات تغذیه. با در نظر گرفتن شکل پیچیده قطعه آن را می‌توان به احجام هندسی ساده مطابق شکل (8) تقسیم بندی نمود. جدول (2) نتایج مدول و درصد حجم هر قسمت را پس از محاسبه نشان می‌دهد. سپس



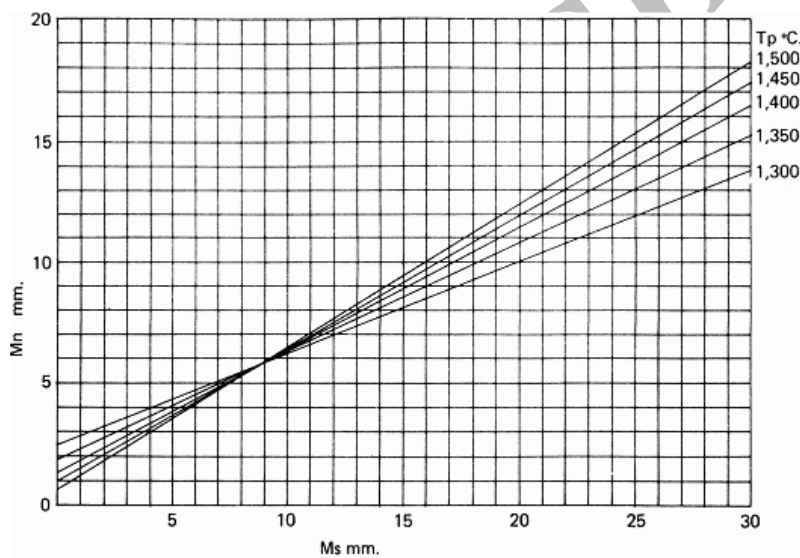
شکل 8 تقسیم بندی شکل قطعه مورد آزمایش به حجم‌های هندسی ساده برای محاسبه مدول اصلی قطعه



شکل 9 نمودار مدل (MS) بر حسب درصد حجمی هر جزء از قطعه شکل (8)

جدول 2 نتایج مدول و درصد حجمی هر جزء از قطعه بر اساس شکل (8)

درصد حجمی جزء %	(mm) M_S	قسمت‌ها
10/27	14	جزء (1)
4/11	12/67	جزء (2)
3/9	29/22	جزء (3)
4/95	18/62	جزء (4)
2/04	14	جزء (5)
14/01	50/62	جزء (6)
21/51	26	جزء (7)
0/04	5	جزء (8)



شکل 10 نمودار تعیین مدول گردنه تغذیه (Mn) برای تغذیه‌گذاری فشاری بر اساس دمای باربریزی و مدول قطعه [4]

نمود. با فرض تغذیه استوانه با نسبت ارتفاع به قطر 2 ارتفاع تغذیه برابر با 128 میلیمتر به دست می‌آید. با کنترل فاصله مذاب رسانی تعداد یک تغذیه برای قطعه یاد شده کافی خواهد بود.

$$M_n = \frac{a_N^2}{4 \times a_N} = 16.12 \quad \Rightarrow \quad a_N = 64.48 \text{ mm} \quad (20)$$

در مورد قطعه مورد نظر، بزرگترین مدول مربوط به جزء 6 می‌باشد که برابر با $M_s = 50/64 = 78.125$ میلیمتر است. از این رو مکان نصب تغذیه روی این جزء قرار می‌گیرد. مدول گردنه تغذیه با داشتن مدول مهم قطعه و دمای باربریزی، به کمک شکل (10)، برابر با 16/12 میلیمتر به دست می‌آید. سپس با فرض مربع بودن سطح قطع گردنه تغذیه، می‌توان ابعاد گردنه تغذیه را تعیین

مشکلات تصمیم گرفته شد هم از مبرد استفاده نشود و هم اینکه مذاب چدن قبل از ذوب ریزی توسط نمونه برداری آنالیز شیمیایی شود تا از عدم افت کردن مذاب اطمینان حاصل شود و در صورت درست بودن کرین معادل، عملیات ذوب ریزی انجام گیرد. نتایج نشان می‌داد بستن درب کوره و محافظت سطح با سرباره سازه‌ای گرافیتی بهترین روش در کاهش افت کرین چدن است. در این مرحله ذوب نهایی که در بردارنده جزئیات پروژه بود انجام گرفت. از آنجا که انجام پروژه از حساسیت ویژه‌ای برخوردار بود تمام عوامل کیفی مورد توجه قرار گرفت. نخستین اقدام استفاده از کاربید کلسیم به منظور گوگردزدایی بود. با ریز کردن مقدار 500 گرم کاربید کلسیم و افزودن آن به مذاب 10 دقیقه قبل از ریختن گوگردزدایی انجام شد. برای جوانه‌زایی از فروسیلیس استفاده شد که پس از خرد کردن به مقدار 500 گرم قبل از روشن کردن کوره و به همین مقدار نیز در اواخر ذوب به شارژ اضافه شد. در مورد اضافه کردن فرو سیلیس منیزیم به عنوان ماده کروی کننده مطابق تصاویر الف و ب شکل(11) از یک توری نگهدارنده در پایین تغذیه استفاده شد. همچنین در نقشه شکل(6) محل سه تکیه گاه توری، از اطراف تغذیه، به صورت تیغه‌های بیرون زده نمایش داده شده است. از طرف دیگر ایجاد منفذی در بالای تغذیه، مطابق شکل (12)، به عنوان جایگاه ماهیچه مدادی طراحی گردید. از این سوراخ برای وارد کردن مواد کروی کننده به داخل تغذیه و قرار دادن آن‌ها روی توری نگهدارنده استفاده شد. مقدار فرو سیلیس منیزیم برای استفاده 50 گرم بود و مقدار 30 گرم منیزیم خالص نیز در کنار این ماده اضافه شد.

خطاطر نشان می‌سازد تغذیه مورد استفاده در شکل (12) دارای ارتفاعی برابر با 13 سانتی‌متر و قطری برابر با 8 سانتی‌متر بود که از اندازه محاسبه شده کمی بزرگتر

عملیات ریخته‌گری

با توجه به ابتکاری بودن طرح نیاز به انجام چندین بار ریخته‌گری در شکل‌های مختلف ضروری بود. در اولین قدم برای اینکه از عملکرد سیستم راهگاهی اطمینان حاصل شود، ابتدا ذوبی بدون ملاحظات کیفی و صرفاً با در نظر گرفتن سیستم راهگاهی انجام گرفت. این عملیات بدون مشکل صورت گرفت و باعث شد طراحی سیستم راهگاهی بدون مشکل قلمداد شود. مرحله بعدی کار استفاده از مبرد بود و به این منظور صورت گرفت که از جهت دار شدن انجاماد اطمینان حاصل شده و در نهایت تغذیه به صورت مناسب‌تری عمل کند. ذوب بعدی انجام عملیات کروی کردن چدن خاکستری به روش معمولی بود. این ذوب به این منظور انجام شد تا مشکلات کیفی مذاب در حین کروی شدن شناخته شده و برطرف گردد. از آنجا که با هر بار ذوب ریزی کوره‌های موجود دچار استهلاک زیادی می‌شدند، تصمیم گرفته شد با انجام قالبگیری در زمین دو عملیات فوق با یکبار ذوب ریزی انجام شوند.

پس از پایان ذوب ریزی نمونه‌های سری اول که با استفاده از مبرد منجمد شده بودند، با متالوگرافی مشخص شد که در اکثر آنها انجاماد جهت دار صورت گرفته است. نتایج آزمایش نمونه‌های اول نشان داد که استفاده از مبرد باعث تبریدی شدن قطعه و ایجاد ساختار چدن سفید می‌شود. از این رو، استفاده از مبرد در سایر آزمون‌ها متفقی شد، چراکه هر چه سرعت سرد شدن چدن افزایش پیدا کند، ساختارهای حاصله به سمت سفید شدن پیش می‌رود. ذوب‌های سری دوم که به منظور کروی شدن صورت گرفت با عدم موفقیت روبرو شد. علت عدم موفقیت، کاهش کرین معادل چدن در اثر سوختن کرین در طی فرایند ذوب بود. آزمون متالوگرافی نمونه‌های یاد شده نشان داد دوباره چدنی با ساختار سفید و کاربیدهای فراوان و بسیار سخت به دست آمده است. با تجربه کردن این

گازهای موجود در قالب و همچنین گازهای متصل‌شونده از مواد کروی کننده، در اطراف محفظه قالب در درجه بالایی تعییه گردید.

می‌باشد که آن هم به خاطر حجمی است که مواد کروی کننده در تغذیه به خود اختصاص می‌دهند. در نهایت مطابق شکل (13)، چندین سوراخ هواکش برای عبور



(ب)



(الف)

شکل 11 نمایی از قسمت زیرین تغذیه به همراه تکیه گاههای توری (الف) و توری نگهدارنده مواد کروی کننده (ب).



(ب)



(الف)

شکل 12 نمایی از ماهیچه مدادی (الف) و طرز قرار گرفتن آن در تغذیه (ب)



(ب)



(الف)

شکل 13 نمای دو درجه از سطح جدایش: (الف) درجه بالایی با سوراخ‌های هواکش (ب) درجه پایینی



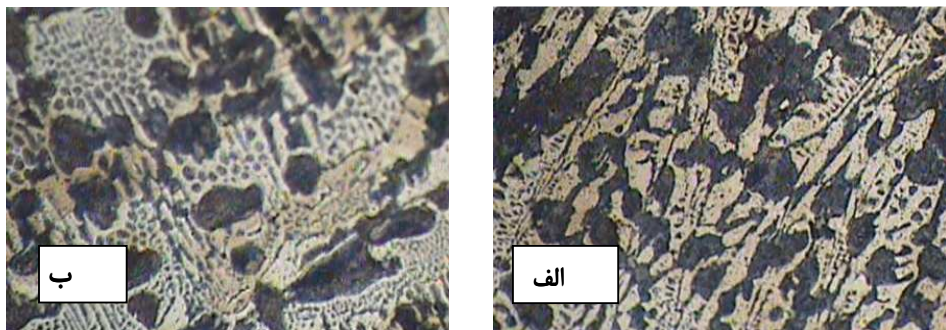
شکل ۱۴ تصاویری از قطعه ریخته شده پس از جدامودن تغذیه همراه سیستم راهگاهی مدل چوبی آن.

و با کد ۳ نامگذاری شد. به این ترتیب پس از انجام مراحل تهیه نمونه همگی توسط محلول اج مناسب متالوگرافی شدندتا شکل، توزیع، پراکندگی و درصد کروی شدن گرافیتها و همین طور ساختار زمینه؛ از سطح بیرونی به طرف قسمت حجمی (مدول بالا) قطعه مشخص گردد. شکل (۱۵) ریزساختار چدن را برای نمونه ۱ به ترتیب در تصویر (الف) برای سطح و در تصویر (ب) برای مغز (منطقه با مدول حرارتی بالا) با گرافیت کروی نشان می‌دهد. شکل (۱۶) نتایج متالوگرافی را برای نمونه شماره ۲ (گردن تغذیه) نشان میدهد که ساختاری حاوی گرافیت کروی است. شکل (۱۷) تصویر متالوگرافی برای نمونه شماره ۳ را در محل اطراف اتصال سیستم راهگاهی به قطعه نشان می‌دهد که قادر گرافیت کروی می‌باشد. در آزمایش بعدی هریک از نمونه‌های یاد شده سختی سنجی شدند که نتایج آزمون در جدول (۳) ارائه شده است.

پس از اینکه درجه‌ها روی یکدیگر قرار گرفت و مواد کروی کننده در محل خود در داخل تغذیه جای داده شد، ماهیچه مدادی نیز در جایگاه خود قرار داده شد و ذوب‌ریزی انجام گرفت. شکل (۱۴) قطعه ریختگی را پس از جدا نمودن تغذیه آن به همراه سیستم راهگاهی نشان می‌دهد.

نتایج

ابتدا آزمایش متالوگرافی برای بررسی کروی شدن گرافیت‌ها در سرتاسر قطعه انجام گرفت. به این منظور نمونه برداری مخرب از قطعه از سه محل بحرانی و حساس انجام گرفت. نمونه اول از منطقه‌ای که بزرگترین مدول حرارتی را داشت جدا شد و با کد ۱ نامگذاری شد. نمونه دوم از محل گردن تغذیه جدا شد و با کد ۲ نامگذاری شد. نمونه سوم از محلی نزدیک اتصال سیستم راهگاهی (پوسته بیرونی قطعه) جدا شد



شکل 15 ریزساختار نمونه 1 (قسمت مدول بالا) پس از اج در بزرگنمایی 200 الف- تصویر سطح ، ب- تصویر مغز

جدول 3 نتایج آزمون سختی سنجی

مکان	عدد سختی بریتل	سختی میانگین
مرکز قسمت مدول بالا	340-388-410	380
مرکز سطح گردن تغذیه	330-260-277	289
مرکز تغذیه	260-277-293	277
3 سانتیمتری زیر راهگاه	578-555-555	563
پوسته اطراف راهگاه	555-600-630	562



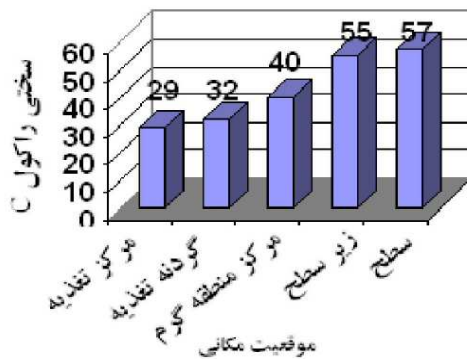
شکل 17 ریزساختار نمونه 3 (اتصال سیستم راهگاهی) پس از اج در بزرگنمایی 200



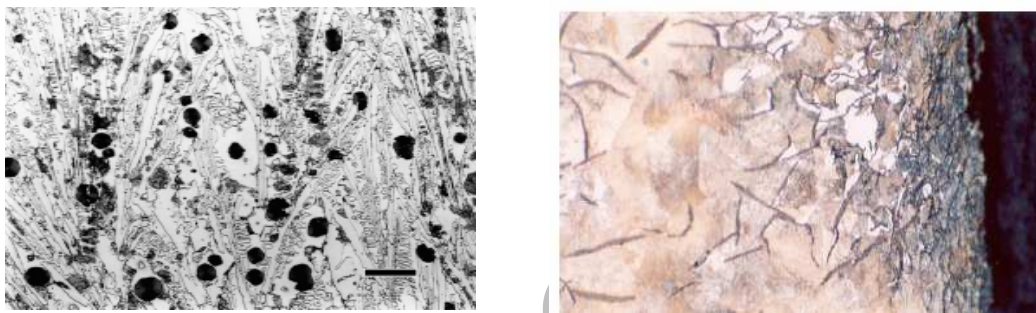
شکل 16 ریزساختار نمونه 2 (گردن تغذیه) پس از اج در بزرگنمایی 200

می‌شود با حرکت به سمت تغذیه و یا گرمترین قسمت قطعه، سختی کاهش می‌یابد که علت آن تغییر ساختار چدن از سطح بیرونی که چدن خاکستری است به مغز قطعه که چدن نشکن است، می‌باشد. اگرچه ساختار زمینه هم علاوه بر مورفولوژی گرافیت‌ها بر این تغییرات سختی مؤثر بوده است.

نمودار شکل (18) تغییرات سختی قطعه را از سطح قسمتی از قطعه که سریعتر از بقیه مقاطع سرد می‌شود (اطراف راهگاه فرعی) به طرف گرمترین قسمت و سپس به سمت مرکز تغذیه، روی مسیر انجاماد جهت‌دار، یعنی از سردترین مقطع به طرف گرمترین مقطع قطعه نشان می‌دهد. همان طور که ملاحظه



شکل 18 تغییرات سختی قطعه روی مسیر انجام جهت دار از سردترین مقطع به گرمترین مقطع



ب) تصویر مغز نمونه ۱، بزرگنمایی 100

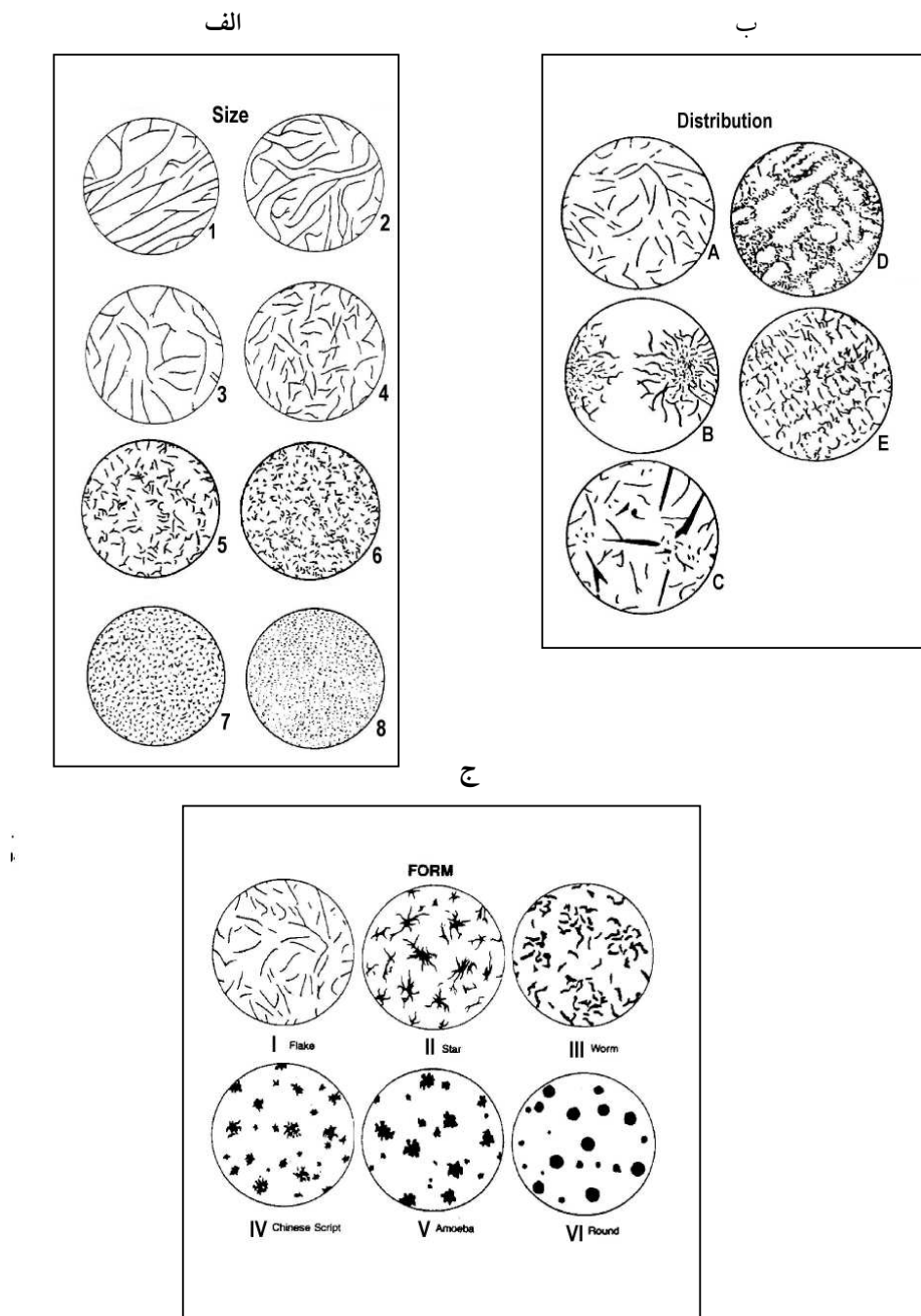
الف) تصویر لبه خارجی نمونه ۱، بزرگنمایی 100

شکل 19 اختلاف شکل گرافیت‌ها به ترتیب در لبه خارجی و مغز نمونه برای مقایسه با استاندارد ASTM A247

همانطور که حدس زده می‌شد ساختار به سمت چدن خاکستری تا سفید میل می‌نماید. افزایش سختی در پوسته نیز این مطلب را تأیید می‌کند. این تصاویر به منظور مقایسه با استاندارد ASTM A247 [13,12] شکل (20)، ارائه شده‌اند. همان طور که ملاحظه می‌شود در مغز نمونه ۱ گرافیت‌ها کروی هستند که با شکل VI و اندازه ۵ از استاندارد یاد شده قبل انطباق است. اما اگر پوسته بیرونی همین نمونه با استاندارد مقایسه شود، گرافیت‌های خاکستری دارای شکل I با توزیع A و اندازه ۳ مطابقت دارند. تصاویر متالوگرافی از محل اتصال سیستم راهگاه نشان می‌دهند که از کروی شدن خبری نیست و تنها نکته قابل توجه وجود مقدار زیادی ناخالصی است که علت آن مقطع زدن از قسمت انتهایی راهگاه است؛ یعنی دقیقاً در جایی که ناخالصی‌ها و سرباره‌ها در آنجا جمع می‌شوند.

بحث و نتیجه‌گیری

با تجزیه و تحلیل نتایج متالوگرافی مشاهده می‌شود که در نمونه‌های شماره ۱ و ۲ مقدار قابل توجهی گرافیت کروی تشکیل شده است و این مقدار در گردن تغذیه خیلی بیشتر می‌باشد. نتایج سختی سنگی نیز مؤید این مطلب می‌باشد. از طرف دیگر بررسی توزیع و مورفوولوژی کره‌های گرافیتی نشان می‌دهد که گرافیت‌ها بسیار ریز شده و در بعضی نقاط به هم چسبیده‌اند، گویی در حین کروی شدن دچار مشکل شده‌اند. دلیل این امر ممکن است در اختیار نداشتن مواد کروی کننده کافی و یا کمبود کریں معادل چدن باشد. نکته دیگری که از تصاویر متالوگرافی لبه خارجی نمونه در شکل (19) دیده می‌شود این است که هر چه به پوسته نزدیک‌تر می‌شویم کره‌های گرافیتی بیشتر حذف شده و گرافیت‌ها به صورت ورقه‌ای رسوب نموده‌اند و



شکل 20 انواع شکل، توزیع و اندازه گرافیت‌ها بر پایه استاندارد ASTM A247

سوی دیگر در قطعات بزرگ که سیستم تقلیل فشار در تغذیه رخ نمی‌دهد، این روش کارایی چندانی ندارد زیرا فشار برگشتی تولید نمی‌کند که مذاب تلقیح شده از تغذیه وارد محفظه قطعه شود. به عبارت ساده‌تر قبل از شروع انجماد همه جانبه در اثر آزاد سازی گرافیت‌ها در بین خط لیکوئیدوس و سالیدوس، بایستی مذاب تلقیح شده از داخل تغذیه به داخل فضای بین دندانیت‌های اولیه رفته و پس از کروی کردن مذاب یوتکنیکی باقی مانده، گردنه تغذیه منجمد شود. حال گرافیت زایی در ابعاد وسیع آغاز می‌شود. به این ترتیب، انبساط حاصل از گرافیت‌ها باعث پرشدن حفره‌های انقباضی می‌شود و قطعه سالم درمی‌آید.

تشکر و قدردانی

نویسنده‌گان مقاله به این وسیله از همکاری آقای مهندس حامد اسکندری و جناب آقای دکتر صدرالسادات، عضو هیأت علمی دانشگاه شهید چمران اهواز، برای انجام آزمون‌های علمی تشکر و قدردانی می‌نمایند.

بررسی فازهای زمینه در تصاویر متالوگرافی نشان می‌دهد که در همه نمونه‌ها زمینه پرلیتی شده و هر چه به سمت پوسته نزدیک می‌شویم شاهد افزایش پرلیت به همراه سمعتیت‌های پراکنده هستیم. در نهایت شاهد چیزی در حدود 65 الی 70 درصد کروی شدن هستیم که با اعمال حساسیت بیشتر روی نکات کیفی مذاب این مقدار قطعاً افزایش پیدا خواهد کرد. به این ترتیب، با استفاده از روش ابتکاری ارائه شده در پژوهش حاضر با حذف محفظه واکنش مواد کروی کننده می‌توان ساختار قطعه چدنی را از سطح بیرونی به طرف مرکز قطعه به ترتیب از چدن خاکستری به چدن داکتیل تغییر داد. این دوگانگی ساختار می‌تواند منشاء بسیاری از کاربردهای صنعتی و مهندسی باشد.

بررسی ریزساختار در شرایط مختلف نشان داد که دمای باربری طبق نمودار شکل (4) مناسب است، ولی اگر دما بیشتر بالارود به هنگام رسیدن مذاب به مواد کروی کننده در تغذیه امکان واکنش شدید و ترکیدن قالب ماسه‌ای از منطقه بالای سر تغذیه وجود دارد. از

مراجع

1. P.C. Mukherjee, "Fundamental of metal casting technology", Oxford presses, (1979).
2. R. Beadle, "Castings", Macmillan press, (1971).
3. P. Beely, "Foundry technology", Butterworth-Heinemann press, (2001).
4. پرویز دوامی، "اصول طراحی سیستم راهگاهی و تغذیه‌گذاری چدن‌ها"، انتشارات جامعه ریخته گران ایران، (1368).
5. Jelrey L. Hutter, John Bechhoefer, "Banded spherulitic growth in a liquid crystal", Journal of Crystal Growth 217, 332-34, (2000).
6. Janina M. Radzikowska, "Effect of specimen preparation on evaluation of cast iron microstructures", Materials Characterization 54, 287– 304, (2005).
7. Lin PC, Loper CR., "Observation on the graphite morphology in cast iron", Trans AFS, 88-97, (2005).
8. Vander Voort GF., "Metallography Principles and Practice", McGraw-Hill Book Co., New York (1984), ASM International, Materials Park, Ohio, (1999).

9. Edalati, K., Akhlaghi, F., Nili-Ahmadabadi, M., "Influence of SiC and FeSi addition on the characteristics of gray cast iron melts poured at different temperatures", J. of Mater. Proc. Tech. 160, 183–187, (2005).
10. Rikard Källbom, K. Hamberg, M. Wessén, E. Björkegren, "On the solidification sequence of ductile iron castings containing chunky graphite", Materials Science and Engineering A, 413–414, 346-351, (2005).
11. H.L. Rosenthal, "Principles of metal casting", McGraw-Hill press, (1992).
12. Standard ISO 945: Cast Iron- Designation of microstructure of graphite.
13. Standard ASTM A247: Test method for evaluation the microstructure of graphite in iron castings.